

Tilting Komplexe

Thorsten Bonato

Universität Heidelberg

Heidelberg, 8. Oktober 2007

- 1 Kontext
- 2 Begriffe und Grundlagen
 - Polytopale Komplexe und Unterteilungen
 - Tilting Funktionen
 - Polar und konjugierte Seitenfläche
- 3 Tilting Komplexe
 - Konstruktion
 - Eigenschaften
 - Ergebnisse

- 1 Kontext
- 2 Begriffe und Grundlagen
 - Polytopale Komplexe und Unterteilungen
 - Tilting Funktionen
 - Polar und konjugierte Seitenfläche
- 3 Tilting Komplexe
 - Konstruktion
 - Eigenschaften
 - Ergebnisse

Wir betrachten das **Symmetrische Traveling Salesman Problem** auf n Städten, die alle paarweise miteinander verbunden sind. Wir arbeiten also auf dem vollständigen Graphen $K_n = (V_n, E_n)$.

Definition

- Das **Symmetric Traveling Salesman Polytope** STSP(n) ist definiert als die konvexe Hülle aller charakteristischen Vektoren von Rundreisen, die jede Stadt **genau** einmal besuchen.
- Das **Graphical Traveling Salesman Polyhedron** GTSP(n) ist analog definiert, jedoch dürfen hierbei die Städte auch mehrfach besucht werden.

Naddef und Rinaldi (1993)

- Facettendefinierende Ungleichungen des $\text{GTSP}(n)$ zerfallen in drei Klassen:
 - (i) Triviale Ungleichungen: $\chi_e^T \mathbf{x} \geq 0, \forall e \in E_n,$
 - (ii) Gradungleichungen: $\chi_{\delta(u)}^T \mathbf{x} \geq 2, \forall u \in V_n,$
 - (iii) Ungleichungen in sog. **Tight-Triangular-** oder **TT-Form**.
- $\text{STSP}(n)$ ist eine Seitenfläche des $\text{GTSP}(n)$ bestimmt durch den Schnitt der Gradfacetten.
- Jede nicht-triviale Facette des $\text{STSP}(n)$ induziert eine Facette des $\text{GTSP}(n)$.
- Offene Frage: Ist der Schnitt einer $\text{GTSP}(n)$ -Facette mit $\text{STSP}(n)$ automatisch eine Facette von $\text{STSP}(n)$???

Was bedeutet TT-Form?

Eine Ungleichung $\mathbf{a}^T \mathbf{x} \geq \alpha$ ist in **TT-Form**, falls

- \mathbf{a} auf allen Dreiecken der Δ -Ungleichung genügt,
- für jeden Knoten u mindestens eine Kante $e \ni u$ existiert, so daß auf dem dadurch definierten Dreieck die Δ -Ungleichung mit Gleichheit erfüllt ist.

Was bedeutet TT-Form?

Eine Ungleichung $\mathbf{a}^T \mathbf{x} \geq \alpha$ ist in **TT-Form**, falls

- \mathbf{a} auf allen Dreiecken der Δ -Ungleichung genügt,
- für jeden Knoten u mindestens eine Kante $e \ni u$ existiert, so daß auf dem dadurch definierten Dreieck die Δ -Ungleichung mit Gleichheit erfüllt ist.

Oswald, Reinelt und Theis (2005)

- Klasse der TT-Facetten zerfällt in zwei Subklassen:
 - (i) NR-Facetten, die sich auf $\text{STSP}(n)$ übertragen lassen,
 - (ii) nicht-NR-Facetten.
- Subklasse der nicht-NR-Facetten ist **nicht leer** für $n \geq 9$.
- **Tilting Komplexe** erlauben Aussagen über die lokale Struktur der TT-Facetten.

- 1 Kontext
- 2 Begriffe und Grundlagen
 - Polytopale Komplexe und Unterteilungen
 - Tilting Funktionen
 - Polar und konjugierte Seitenfläche
- 3 Tilting Komplexe
 - Konstruktion
 - Eigenschaften
 - Ergebnisse

Definition

Ein **polytopaler Komplex** $\mathcal{C} := \{P_i\}_{i \in I}$ ist eine endliche Menge von Polytopen mit folgenden Eigenschaften:

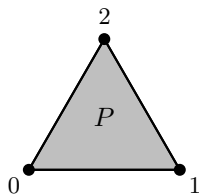
- Mit P_i sind auch alle Seitenflächen von P_i im Komplex.
- Der Schnitt zweier Polytope P_i, P_j des Komplexes muß eine Seitenfläche **beider** Polytope sein.

Definition

Ein **polytopaler Komplex** $\mathcal{C} := \{P_i\}_{i \in I}$ ist eine endliche Menge von Polytopen mit folgenden Eigenschaften:

- Mit P_i sind auch alle Seitenflächen von P_i im Komplex.
- Der Schnitt zweier Polytope P_i, P_j des Komplexes muß eine Seitenfläche **beider** Polytope sein.

Beispiel



$$\mathcal{C}(P) := \{ \emptyset, 0, 1, 2, 01, 02, 12, P \}$$

$$\mathcal{C}(\partial P) := \mathcal{C}(P) \setminus \{P\} \quad (\text{Randkomplex})$$

Definition

Eine **Unterteilung** eines Polytops $P \subseteq \mathbb{R}^d$ ist ein polytopaler Komplex \mathcal{C} mit $P = \bigcup_{Q \in \mathcal{C}} Q$.

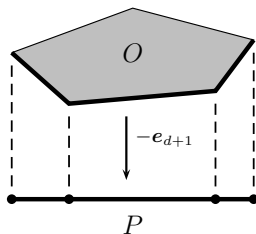
Sie heißt **regulär**, falls \mathcal{C} aus der kanonischen Projektion der unteren Seitenflächen eines Polytops $O \subseteq \mathbb{R}^{d+1}$ hervorgeht.

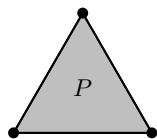
Definition

Eine **Unterteilung** eines Polytops $P \subseteq \mathbb{R}^d$ ist ein polytopaler Komplex \mathcal{C} mit $P = \bigcup_{Q \in \mathcal{C}} Q$.

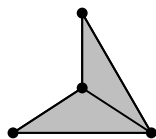
Sie heißt **regulär**, falls \mathcal{C} aus der kanonischen Projektion der unteren Seitenflächen eines Polytops $O \subseteq \mathbb{R}^{d+1}$ hervorgeht.

Beispiel

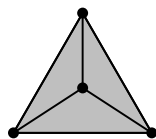




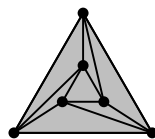
(a)



(b)



(c)



(d)

- (a) Polytop P
- (b) Polytopaler Komplex aber **keine** Unterteilung von P
- (c) Reguläre Unterteilung von P
- (d) Nicht-reguläre Unterteilung von P

- 1 Kontext
- 2 **Begriffe und Grundlagen**
 - Polytopale Komplexe und Unterteilungen
 - **Tilting Funktionen**
 - Polar und konjugierte Seitenfläche
- 3 Tilting Komplexe
 - Konstruktion
 - Eigenschaften
 - Ergebnisse

Inputs

- eine sog. **gute Seitenfläche** $F \subsetneq \text{STSP}(n)$, die nicht in einer Nichtnegativitätsfacette enthalten ist.
- die definierenden Ungleichungen $\mathbf{a}_j^T \mathbf{x} \geq \alpha_j$, $j = 0, \dots, k$, aller NR-Facetten, deren Schnitt mit $\text{STSP}(n)$ F enthält.

Inputs

- eine sog. **gute Seitenfläche** $F \subsetneq \text{STSP}(n)$, die nicht in einer Nichtnegativitätsfacette enthalten ist.
- die definierenden Ungleichungen $\mathbf{a}_j^T \mathbf{x} \geq \alpha_j$, $j = 0, \dots, k$, aller NR-Facetten, deren Schnitt mit $\text{STSP}(n)$ F enthält.

Definition

Für $u \in V_n$ definiere

$$\lambda_u: \mathbb{R}^{k+1} \longrightarrow \mathbb{R}$$

$$\boldsymbol{\mu} \longmapsto \min_{(v,w) \in E_n \setminus \delta(u)} \sum_{j=0}^k \mu_j (a_j^{uv} + a_j^{uw} - a_j^{vw})$$

Tilting Funktionen sind stückweise linear und konkav.

Tilting Funktionen sind stückweise linear und konkav.

Lemma

Jede stückweise lineare und konvexe Funktion f über einem Polytop P definiert eine reguläre Unterteilung von P durch die kanonische Projektion der unteren Seitenflächen des Polytops

$$Q := \operatorname{conv} \{ (\mathbf{x}^T, f(\mathbf{x})) \mid \mathbf{x} \in P \} = \operatorname{conv} (G_{f|_P}).$$

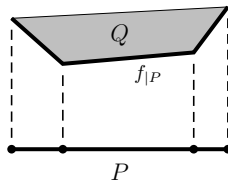
Tilting Funktionen sind stückweise linear und konkav.

Lemma

Jede stückweise lineare und konvexe Funktion f über einem Polytop P definiert eine reguläre Unterteilung von P durch die kanonische Projektion der unteren Seitenflächen des Polytops

$$Q := \text{conv} \{ (x^T, f(x)) \mid x \in P \} = \text{conv} (G_{f|_P}).$$

Beispiel



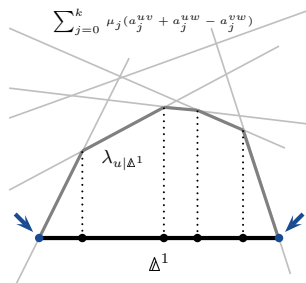
Folgerung

- $-\lambda_u|_{\Delta^k}$ definiert eine reguläre Unterteilung des k -dimensionalen Standardsimplex $\Delta^k := \text{conv}\{e_0, \dots, e_k\}$.
- diese Unterteilung wird mit \mathcal{C}_u bezeichnet.

Folgerung

- $-\lambda_u|_{\Delta^k}$ definiert eine reguläre Unterteilung des k -dimensionalen Standardsimplex $\Delta^k := \text{conv}\{e_0, \dots, e_k\}$.
- diese Unterteilung wird mit \mathcal{C}_u bezeichnet.

Beispiel



- 1 Kontext
- 2 **Begriffe und Grundlagen**
 - Polytopale Komplexe und Unterteilungen
 - Tilting Funktionen
 - Polar und konjugierte Seitenfläche
- 3 Tilting Komplexe
 - Konstruktion
 - Eigenschaften
 - Ergebnisse

Definition

Zu einem Polytop $P \subseteq \mathbb{R}^d$ ist das Polar P^Δ definiert durch

$$P^\Delta := \{ \mathbf{a} \in \mathbb{R}^d \mid \mathbf{a}^T \mathbf{x} \leq 1, \forall \mathbf{x} \in P \}.$$

Definition

Zu einem Polytop $P \subseteq \mathbb{R}^d$ ist das Polar P^Δ definiert durch

$$P^\Delta := \{ \mathbf{a} \in \mathbb{R}^d \mid \mathbf{a}^T \mathbf{x} \leq 1, \forall \mathbf{x} \in P \}.$$

Eigenschaften

- Das Polar besteht anschaulich aus den Vektoren der Lhs-Koeffizienten aller normierten für P zulässigen Ungleichungen.

Definition

Zu einem Polytop $P \subseteq \mathbb{R}^d$ ist das Polar P^Δ definiert durch

$$P^\Delta := \{ \mathbf{a} \in \mathbb{R}^d \mid \mathbf{a}^T \mathbf{x} \leq 1, \forall \mathbf{x} \in P \}.$$

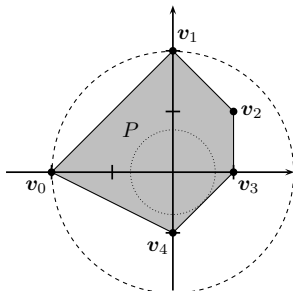
Eigenschaften

- Das Polar besteht anschaulich aus den Vektoren der Lhs-Koeffizienten aller normierten für P zulässigen Ungleichungen.
- Ist P ein volldimensionales Polytop mit $\mathbf{0} \in \text{relint}(P)$, so übertragen sich diese Eigenschaften auf P^Δ und es gilt

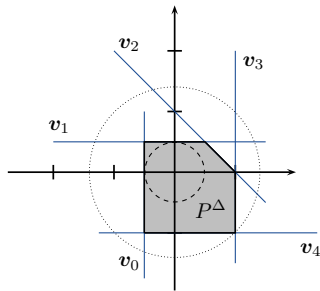
$$P^\Delta = \{ \mathbf{a} \mid \mathbf{a}^T \mathbf{v} \leq 1, \forall \mathbf{v} \in \text{vert}(P) \}.$$

D.h. man kann P^Δ nur anhand der Ecken von P beschreiben.

Beispiel wechselseitig polarer Polytope



(a) Ein Polytop $P \subseteq \mathbb{R}^2$



(b) Das Polar zu P

Beachte

Es gilt stets, daß $\mathbf{0} \in P^\Delta$ und $\mathbf{0} \in P^{\Delta\Delta}$. Somit kann $P = P^{\Delta\Delta}$ nur gelten, falls $\mathbf{0} \in P$.



Definition

Sei $P \subseteq \mathbb{R}^d$ ein volldimensionales Polytop mit $\mathbf{0} \in \text{relint}(P)$. Für alle Seitenflächen F von P ist die **konjugierte Seitenfläche** F^\diamond definiert durch

$$F^\diamond := \{ \mathbf{a} \in \mathbb{R}^d \mid \mathbf{a}^T \mathbf{x} \leq 1, \forall \mathbf{x} \in P \text{ und} \\ \mathbf{a}^T \mathbf{x} = 1, \forall \mathbf{x} \in F \}.$$



Definition

Sei $P \subseteq \mathbb{R}^d$ ein volldimensionales Polytop mit $\mathbf{0} \in \text{relint}(P)$. Für alle Seitenflächen F von P ist die **konjugierte Seitenfläche** F^\diamond definiert durch

$$F^\diamond := \{ \mathbf{a} \in \mathbb{R}^d \mid \mathbf{a}^T \mathbf{x} \leq 1, \forall \mathbf{x} \in P \text{ und} \\ \mathbf{a}^T \mathbf{x} = 1, \forall \mathbf{x} \in F \}.$$

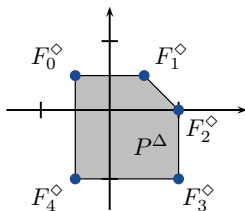
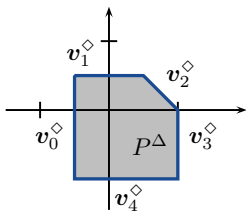
Eigenschaften

- F^\diamond ist eine Seitenfläche von P^Δ .
- $\dim(F^\diamond) = \text{codim}(F) - 1 = \dim(P) - \dim(F) - 1$.



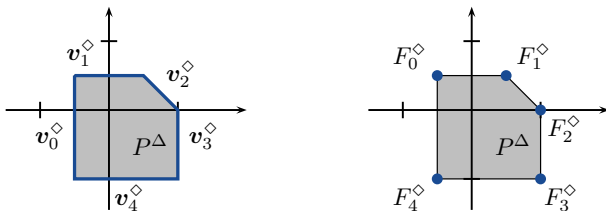
Wir betrachten nun die konjugierten Seitenflächen für die Ecken v_i bzw. die Kanten $F_i := \{v_i, v_{(i+1) \bmod 5}\}$ von P . $\triangleright P$

Beispiel konjugierter Seitenflächen



Wir betrachten nun die konjugierten Seitenflächen für die Ecken v_i bzw. die Kanten $F_i := \{v_i, v_{(i+1) \bmod 5}\}$ von P . $\triangleright P$

Beispiel konjugierter Seitenflächen



Beobachtung

Die **Seitenverbände** von P und P^Δ – also die teilweise geordneten Mengen der jeweiligen Seitenflächen mit der Inklusion als partieller Ordnung – verhalten sich **anti-isomorph** zueinander.

Worin besteht nun der Zusammenhang ...

Worin besteht nun der Zusammenhang ...

... zu Tilting Komplexen?

Ein Tilting Komplex \mathcal{T}_u am Knoten u ist eine Unterteilung der zu einer guten Seitenfläche F konjugierten Seitenfläche F^\diamond . Der zugehörige Tilting Komplex \mathcal{T} ist definiert durch

$$\mathcal{T} := \bigcap_{u \in V_n} \mathcal{T}_u.$$

Worin besteht nun der Zusammenhang ...

... zu Tilting Komplexen?

Ein Tilting Komplex \mathcal{T}_u am Knoten u ist eine Unterteilung der zu einer guten Seitenfläche F konjugierten Seitenfläche F^\diamond . Der zugehörige Tilting Komplex \mathcal{T} ist definiert durch

$$\mathcal{T} := \bigcap_{u \in V_n} \mathcal{T}_u.$$

... zur Unterteilung \mathcal{C}_u ?

Eine reguläre Unterteilung \mathcal{C}_u des Standardsimplex läßt sich durch geeignete Projektion in \mathcal{T}_u überführen.

Problem

Die Definition der konjugierten Seitenfläche setzt ein **volldimensionales** Polytop P mit $\mathbf{0} \in \text{relint}(P)$ voraus. Wir möchten jedoch Seitenflächen von $\text{STSP}(n)$ betrachten, welches keine dieser Voraussetzungen erfüllt.

Problem

Die Definition der konjugierten Seitenfläche setzt ein **volldimensionales** Polytop P mit $\mathbf{0} \in \text{relint}(P)$ voraus. Wir möchten jedoch Seitenflächen von $\text{STSP}(n)$ betrachten, welches keine dieser Voraussetzungen erfüllt.

Lösung

Wir translatieren $\text{STSP}(n)$ derart, daß ein beliebiger relativ innerer Punkt, z.B. $\mathbf{x}^* := \frac{2}{n-1} \cdot \mathbf{1}$, auf den Ursprung abgebildet wird. Anschließend projizieren wir das verschobene Polytop auf dessen affine Hülle. Dabei werden die zulässigen Ungleichungen ebenfalls transformiert und zwar in die sog. **Standardskalierung** (bzgl. \mathbf{x}^*).

Gibt es Fragen zu den Grundlagen?

- 1 Kontext
- 2 Begriffe und Grundlagen
 - Polytopale Komplexe und Unterteilungen
 - Tilting Funktionen
 - Polar und konjugierte Seitenfläche
- 3 Tilting Komplexe**
 - Konstruktion**
 - Eigenschaften
 - Ergebnisse

Wir betrachten die nicht-NR-Facette von $\text{GTSP}(10)$, die durch folgende Ungleichung definiert ist

$$\begin{aligned}
 & 3x_1 + 5x_2 + 6x_3 + 6x_4 + 7x_5 + 8x_6 + 9x_7 + 9x_8 + 9x_9 + 8x_{10} \\
 & + 9x_{11} + 9x_{12} + 6x_{13} + 5x_{14} + 6x_{15} + 8x_{16} + 8x_{17} + 9x_{18} + 9x_{19} + 8x_{20} \\
 & + 3x_{21} + 8x_{22} + 6x_{23} + 6x_{24} + 6x_{25} + 6x_{26} + 6x_{27} + 9x_{28} + 3x_{29} + 9x_{30} \\
 & + 9x_{31} + 6x_{32} + 3x_{33} + 9x_{34} + 6x_{35} + 9x_{36} + 6x_{37} + 9x_{38} + 3x_{39} + 9x_{40} \\
 & + 9x_{41} + 7x_{42} + 9x_{43} + 9x_{44} + 6x_{45} \geq 47.
 \end{aligned}$$

Ihr Schnitt mit $\text{STSP}(10)$ liefert eine gute Seitenfläche F mit $\text{codim}(F) = 3$. Diese ist in drei NR-Facetten enthalten

$$\mathbf{a}_j^T \mathbf{x} \geq \alpha_j, \quad j = 0, 1, 2.$$

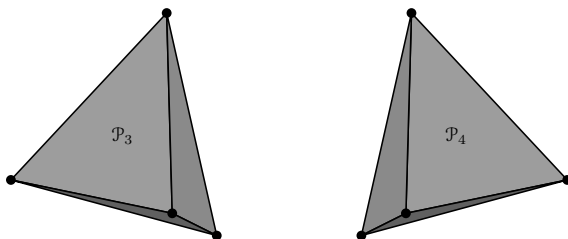
Es gilt also $k = 2$.

Beachte

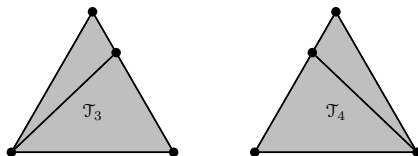
Die Übereinstimmung von $\text{codim}(F)$ mit der Anzahl der NR-Facetten, die F enthalten, ist **reiner Zufall!**

- Für alle $u \in V_{10} \setminus \{3, 4\}$ gilt $\lambda_u|_{\Delta^2} \equiv 0$. Diese können ignoriert werden.

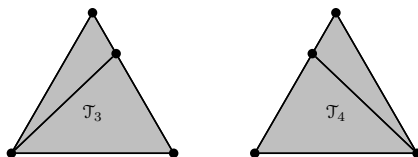
- Für alle $u \in V_{10} \setminus \{3, 4\}$ gilt $\lambda_u|_{\Delta^2} \equiv 0$. Diese können ignoriert werden.
- Interessant sind also die Tilting Funktionen $\lambda_u|_{\Delta^2}$, für $u = 3, 4$. Durch $\text{conv}(G_{\lambda_u|_{\Delta^2}})$ ergeben sich die Polytope $\mathcal{P}_3, \mathcal{P}_4$. Diese definieren die regulären Unterteilungen $\mathcal{C}_3, \mathcal{C}_4$.



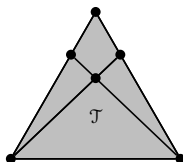
- Mittels geeigneter Projektion werden die Unterteilungen $\mathcal{C}_3, \mathcal{C}_4$ auf die Tilting Komplexe $\mathcal{T}_3, \mathcal{T}_4$ an den entsprechenden Knoten abgebildet.



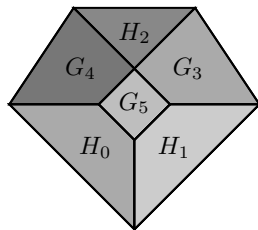
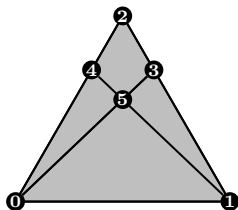
- Mittels geeigneter Projektion werden die Unterteilungen $\mathcal{C}_3, \mathcal{C}_4$ auf die Tilting Komplexe $\mathcal{T}_3, \mathcal{T}_4$ an den entsprechenden Knoten abgebildet.



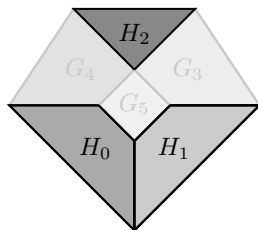
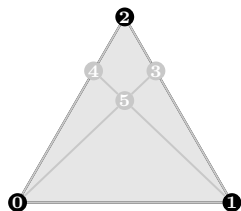
- Der Schnitt der Komplexe $\mathcal{T}_3, \mathcal{T}_4$ ergibt schließlich den Tilting Komplex \mathcal{T} .



- 1 Kontext
- 2 Begriffe und Grundlagen
 - Polytopale Komplexe und Unterteilungen
 - Tilting Funktionen
 - Polar und konjugierte Seitenfläche
- 3 **Tilting Komplexe**
 - Konstruktion
 - **Eigenschaften**
 - Ergebnisse



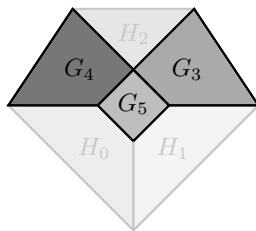
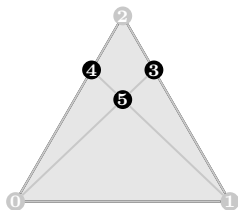
- Die Ecken v_0, \dots, v_5 des Tilting Komplexes korrespondieren zu den TT-Facetten von $GTSP(10)$, deren Schnitt mit $STSP(10)$ die gute Seitenfläche F enthält.
- Die Adjazenzbeziehungen der Ecken übertragen sich direkt auf die zugehörigen TT-Facetten.



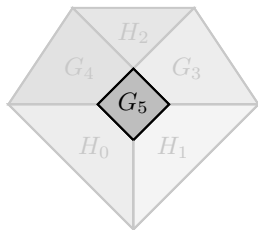
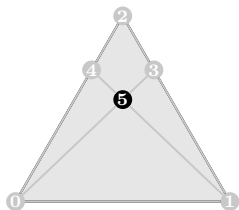
Die Ecken der konjugierten Seitenfläche F^\diamond korrespondieren zu den drei NR-Facetten

$$\mathbf{a}_j^T \mathbf{x} \geq \alpha_j, \quad j = 0, 1, 2,$$

die als Input für die Berechnung von \mathcal{T} dienen. Folglich lassen sich diese mittels der bereits vorgestellten äußeren Beschreibung von F^\diamond aus den Ecken von $\text{STSP}(n)$ berechnen. ▶ F^\diamond

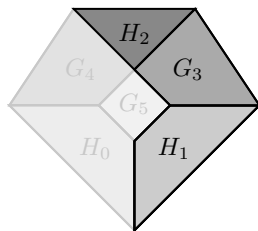
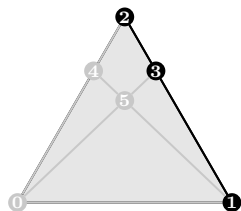


- Die übrigen Ecken des Tilting Komplexes repräsentieren die nicht-NR-Facetten.
- In Standardskalierung erhält man diese als Konvexkombination der NR-Facetten. Die Koeffizienten sind dabei identisch zu den baryzentrischen Koordinaten der entsprechenden Ecke von \mathcal{T} bezüglich der Ecken von F^\diamond .

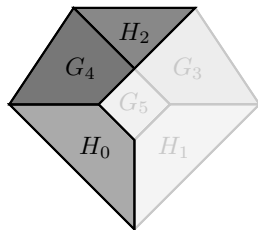
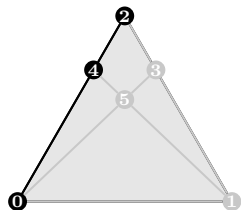


Ecken des Komplexes, die im relativen Inneren liegen, liefern nicht-NR-Facetten, deren Schnitt mit $\text{STSP}(10)$ gleich F ist, d.h. also

$$F = G_5 \cap \text{STSP}(10).$$



Der Teilkomplex der Ecken v_1, v_2, v_3 entspricht dem eindimensionalen Tilting Komplex einer guten Seitenfläche \hat{F} mit $\text{codim}(\hat{F}) = 2$, die F enthält.



Der Teilkomplex der Ecken v_0, v_2, v_4 entspricht ebenfalls diesem Tilting Komplex von \hat{F} , allerdings modulo Knotenpermutation. Die zugehörige Permutation lautet

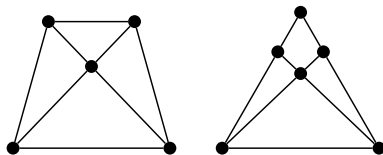
$$\pi := \begin{pmatrix} 0 & 1 & 2 & 3 & 4 & 5 & 6 & 7 & 8 & 9 \\ 6 & 2 & 1 & 4 & 3 & 9 & 0 & 8 & 7 & 5 \end{pmatrix}.$$

- 1 Kontext
- 2 Begriffe und Grundlagen
 - Polytopale Komplexe und Unterteilungen
 - Tilting Funktionen
 - Polar und konjugierte Seitenfläche
- 3 **Tilting Komplexe**
 - Konstruktion
 - Eigenschaften
 - **Ergebnisse**

- Bisher wurden nur ein- und zweidimensionale Tilting Komplexe gefunden im Verhältnis 221 : 6.

- Bisher wurden nur ein- und zweidimensionale Tilting Komplexe gefunden im Verhältnis 221 : 6.
- Die eindimensionalen Komplexe besitzen **genau eine** relativ innere Ecke.

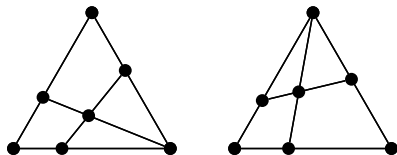
- Bisher wurden nur ein- und zweidimensionale Tilting Komplexe gefunden im Verhältnis 221 : 6.
- Die eindimensionalen Komplexe besitzen **genau eine** relativ innere Ecke.
- Bei den zweidimensionalen Komplexen gibt es zwei verschiedene Grundformen:



Sie weisen einen hohen Grad an Symmetrie auf.

- Auch hier wurden bisher nur ein- und zweidimensionale Tilting Komplexe gefunden in einem Verhältnis von 1653:2.

- Auch hier wurden bisher nur ein- und zweidimensionale Tilting Komplexe gefunden in einem Verhältnis von 1653 : 2.
- Die zwei zweidimensionalen Komplexe sehen wie folgt aus:



Sie verfügen nicht über die Symmetrie der zweidimensionalen Komplexe von GTSP(10).

Ich bedanke mich für ihr Interesse und ihre Aufmerksamkeit!

Gibt es abschließende Fragen?